Comparação de heurísticas aplicadas no algoritmo A*

Allan Diamante de Souza, 105423

Felipe Diniz Tomás, 110752

¹Departamento de informática – Universidade Estadual de Maringá (UEM) Maringá – PR – Brasil

Modelagem e otimização Algoritmica – 6903

Ra110752@uem.br, Ra105423@uem.br 12, Abril 2021

1. Introdução

Publicado pela primeira vez em 1968 pelo grupo de pesquisadores do Instuto de pesquisa de Stanford¹, o A-estrela (A*) é um algoritmo de busca de caminho que utiliza uma combinação de aproximações heurísticas para resolver determinados tipos de problemas. A busca é realizada em um grafo começando de um vértice inicial, tendo como destino um vértice final. É frequentemente usado em muitos campos da ciência da computação devido à sua integridade, otimização e eficiência², sendo suas principais aplicações voltadas a encontrar rotas de deslocamento entre localidades, além de ser preferencialmente utilizado em problemas de quebra-cabeça, como é o caso do N-Puzzle.

Por ser um algoritmo heurístico, um dos principais modificadores no desempenho do algoritmo A* é a heurística aplicada, onde sua variação faz com que a execução siga diferentes caminhos. No entanto é notado que o algoritmo pode gerar um grande número de nós e que sua arvóre de busca pode crescer exageradamente, resultando em um grande uso de memória em determinadas situações, mas como destacado por Zeng and Church (2009) continua sendo o melhor solução em muitos casos.

Sendo assim, o objetivo deste trabalho é analisar o comportamento do algoritmo A* utilizando 5 heurísticas diferentes, para resolver o problema do quebra-cabeça 15-puzzle, observando o tempo de execução e uso de memória entre elas. As heurísticas aplicadas são: o número de peças foras de lugar (de acordo com o tabuleiro destino), o número de peças fora de ordem na sequência numérica das 15 peças (seguindo a ordem das posições no tabuleiro destino), o somatório da Distância Manhattan para cada peça fora do lugar, a combinação linear entre heurísticas e o máximo valor entre heurísticas.

2. O problema

O jogo 15-Puzzle, também conhecido como jogo das 15 peças, trata-se de um quebra-cabeças de quinze peças, composto por um tabuleiro com 15 números, que

² https://link.springer.com/chapter/10.1007%2F978-3-642-02094-0 7

¹ https://en.wikipedia.org/wiki/A* search algorithm

trocam de lugar através de um espaço vazio. O objetivo é arranjar as peças em ordem, da esquerda para a direita, de cima a baixo³. É um problema popular para modelagem de heurísticas e utilização das mesmas.

O problema consiste em dado uma configuração inical qualquer do tabuleiro, é necessário descobrir a quantidade mínima de movimentos sequênciais para chegar à configuração final do tabuleiro final. A seguir é possível observar um exemplo de uma configuração inicial para o tabuleiro 1, e o tabuleiro 2 final.

| 5 | | 9 | 13 |
|---|---|----|----|
| 1 | 2 | 10 | 14 |
| 3 | 6 | 7 | 11 |
| 4 | 8 | 12 | 15 |

Tabuleiro 1. Tabuleiro embaralhado

| 1 | 5 | 9 | 13 |
|---|---|----|----|
| 2 | 6 | 10 | 14 |
| 3 | 7 | 11 | 15 |
| 4 | 8 | 12 | |

Tabuleiro 2. Tabuleiro final

3. Algoritmo A*

O algoritmo A* é um algoritmo para Busca de Caminho, que realiza a busca do caminho em um grafo de um vértice inicial até um vértice final. O processo utiliza uma estrutura de árvore de nós sucessores originados de nós pais, que se expande indefinidamente a cada iteração até alcançar o nó objetivo.

Para determinar qual nó sucessor seguir, o algoritmo realiza o cálculo da função f(n) em cada iteração. Essa função irá determinar através de um valor qual nó sucessor chega mais próximo do nó final, guiando assim as próximas iterações do algoritmo. Esta função é dada por:

$$f(n) = g(n) + h(n)$$

No qual:

- g(n) é o custo do nó inicial até o nó n
- h(n) é uma aproximação fornecida pela função heurística do custo do nó n até o nó objetivo.

_

³ https://zenodo.org/record/979689

4. Heurísticas

Como explicado anteriormente o algoritmo A* deve aplicar determinada heurística a fim de encontrar o caminho. Através delas é possível identificar a eficiência de cada uma, e como a mesma afeta o processo de execução.

4.1. $h'_1(n)$ – Número de peças fora de lugar

Esta heurística consiste na contagem de peças fora do lugar tendo como base a configuração final. Considerando o exemplo do Tabuleiro 1 e o Tabuleiro 2, visto na seção 2, o a heurística retornará 8 peças fora do lugar. A complexidade desta heurística é linear já que percorrerá sequencialmente todo o tabuleiro verificando cada peça, logo como o tabuleiro permanece do mesmo tamanho, o tempo de execução é constante para cada chamada heurística.

4.2. $h'_{2}(n)$ – Número de peças fora de ordem de acordo com a sequência numérica

Esta heurística consiste na contagem de peças fora do lugar tendo como base a configuração final. Basicamente a heurística olha para cada peça e verifica se a próxima na sequência (de acordo com o tabuleiro final) é sua sucessora em ordem númerica. Por exemplo, em uma peça de valor 5, espera-se que apróxima na sequência seja a número 6, caso contrário contabiliza fora de ordem.

No Tabuleiro 1 visto na seção 2, tem como retorno 9 peças fora de ordem, sendo elas em amarelo:

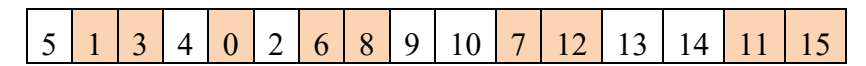


Tabela 1. Peças fora de ordem

A complexidade da heurística é linear, já que deve percorrer todo o tabuleiro verificando as peças fora de ordem. A execução ocorre em tempo constante dado o tamnho fixo do tabuleiro.

4.3. $h'_3(n)$ – Distância Manhattan

Esta heurística consiste no cálculo da distância Manhattan entre cada peça e seu respectivo lugar na configuração final. Ou seja, para cada peça fora de seu lugar soma a distância Manhattam (quantidade de deslocamentos) para colocar em seu devido lugar.

De maneira mais formal, podemos definir a distância de Manhattan entre dois pontos num espaço euclidiano com um sistema cartesiano de coordenadas fixo como a soma dos comprimentos da projecção da linha que une os pontos com os eixos das coordenadas⁴.

Por exemplo, num plano que contem os pontos P_1 e P_2 , respectivamente com as coordenadas (x_1, y_1) e (x_2, y_2) é definido por:

$$|x_1 - x_2| + |y_1 - y_2|$$

⁴ https://pt.wikipedia.org/wiki/Geometria pombalina

Quando aplicado ao tabuleiro 15-puzzle, P_1 passa a ser a peça do tabuleiro desornedado e P_2 a mesma peça no tabuleiro final. Novamente a complexidade deste algorito depende do tamanho do tabuleiro.

4.4. $h'_4(n)$ — Combinação linear entre heurísticas

Nesta heurística ocorrerá a soma do resultado de heurísticas anteriores multiplicado por pesos, p_1, p_2, p_3 que totalizam 1.

$$p_1 * h'_1(n) + p_2 * h'_2(n) + p_3 * h'_3(n)$$

Onde foi definido:

- $p_1 = 0.3$
- $p_2 = 0.2$
- $p_3 = 0.5$

A complexidade depende das heurísticas anteriores, assim como seu tempo de execução.

4.5. $h'_4(n)$ – Máximo entre as heurísticas

Está heurística utilizará o máximo das heurísticas anteriores, portanto sua complexidade também depende das mesmas.

$$max (h'_1(n), h'_2(n), h'_3(n)).$$

5. Metodologia

Quando se trata de metodologia, foi necessário estabelecer recursos para que os testes possam ser feitos de forma justa. Esta seção dica-se a explicar os métodos e recursos utilizados no projeto.

5.1. Máquina

Foi utilizado uma máquina pessoal com as configurações a seguir⁵:

- Processador: Intel(R) Core(TM) i7-3770k CPU @ 3.50GHz;
- Memória RAM: 16.0GB;
- Disco: 100.6GB;
- GPU: RX580 8gb
- OS: Windows 10 Home

5.2. Linguagem

A linguagem utilizada foi o python 3.8⁶.

_

⁵ https://towardsdatascience.com/colab-pro-is-it-worth-the-money-32a1744f42a8

⁶ https://docs.python.org/

5.3. Métrica de tempo e memória

Para calcular o tempo de execução foi utilizado o módulo *time.time()*⁷ e a verificação de memória através da biblioteca *sys*⁸ utilizando o método *getsizeof()* dos conjuntos A e F combinados.

5.4. Estrutura dos dados

Ao implementar o algoritmo A* é necessário estabelecer uma estrutua de dados para armazenar adequadamente os conjuntos A e F, além da estrutura dos nós.

- O conjunto A: estados que já foram gerados, mas ainda não foram processados pelo algoritmo;
- O conjunto F: estados que já foram processados pelo algoritmo.

No projeto o nó foi estruturado como uma classe (Node), possuido o estado do tabuleiro (state), o pai que gerou o nó (parent), o custo de g(n) (gcost) o custo de h(n) (hcost) e uma função paro cálculo de f(n), comno é mostrado na Figura 1.

```
class Node:
    def __init__(self, state, parent, gcost = 0, hcost = 0):
        self.state = state
        self.gcost = gcost
        self.parent = parent
        self.hcost = hcost

def f(self):
    return self.gcost + self.hcost
```

Figura 1. Classe Node

A estrutura fundamental do código A^* é a do conjunto A e F, que foi implementado em tabela hash, que existe por padrão em python com o uso de dicionário. As tabelas hash tem como chave uma *string* com o estado do tabuleiro (*iniTable.state*) e o nó (*iniTable*). Além disso, foi necessário um estrutura de heap para para armazenar o valor da função f(n) e a respectiva chave do dicionário. Como mostrado na figura a seguir:

```
heap = [(iniTable.f(), iniTable)]
A = {str(iniTable.state) : iniTable}
F = {}
```

Figura 2. Estrutura do conjunto A e F

Através da biblioteca $heapq^9$ é possível utilizar a estrutura heap como heap minímo, para que seja possível recuperar o menor valor de f(n) sem percorrer todo conjunto A. Buscar uma chave em dicionário tem tempo constante de O(1) e encontrar

⁷ https://pypi.org/project/ipython-autotime/

⁸ https://docs.python.org/3/library/sys.html

⁹ https://docs.python.org/3/library/heapq.html

o mínimo em um heap minímo pode ser feito em tempo constante, por fim verificar se um valor está em um dicionário tem tempo O(n).

5.5 Analise das linhas 9 e 10 do algoritmo A* (versão II)

As linhas 9 e 10 são responsáveis pela otimização da árvore, ou seja, dado um estado do tabuleiro (nó), essa parte do código irá verificar se o estado já foi descoberto anteriormente e está no conjunto A, se sim, caso o caminho atual encontrado para esse nó for menor (considerando g(n)) do que o que está em A, irá removê-lo de A.

Esse processo do algoritmo influência diretamente no uso de recurso do mesmo. A memória não armazenará caminhos que foram encontrados com o maior g(n) otimizando o armazenamento, consequentemente o desempenho de processamento também é afetado por não processar os caminhos desnecessário.

6. Casos de testes

Dez configurações iniciais para o tabuleiro foram fornecidas pelo professor, (onde 0 representa o espaço em branco), para a comparação das heurísticas. Os testes são:

| Testes | Configuração inicial |
|--------|---------------------------------------|
| 1 | 0 2 9 13 3 1 5 14 4 7 6 10 8 11 12 15 |
| 2 | 3 2 1 9 0 5 6 13 4 7 10 14 8 12 15 11 |
| 3 | 2 1 9 13 3 5 10 14 4 6 11 15 7 8 12 0 |
| 4 | 9 13 10 0 5 2 6 14 1 7 11 15 3 4 8 12 |
| 5 | 4 3 2 1 8 10 11 5 12 6 0 9 15 7 14 13 |
| 6 | 9 13 14 15 5 6 10 8 0 1 11 12 7 2 3 4 |
| 7 | 10 6 2 1 7 13 9 5 0 15 14 12 11 3 4 8 |
| 8 | 6 2 1 5 4 10 13 9 0 8 3 7 12 15 11 14 |
| 9 | 10 13 15 0 5 9 14 11 1 2 6 7 3 4 8 12 |
| 10 | 5 9 13 14 1 6 7 10 11 15 12 0 8 2 3 4 |

Tabela 2. Casos testes

A partir das configurações iniciais poderá ser testado o consumo de tempo e de memória em cada heurística, comparando o desempenho das mesmas. O consumo de memória é interessante pois é um dos possíveis limitadores do algoritmo A*, logo rastrear a quantidade de memória sendo utilizada é essencial para medir a eficiência do algoritmo.

7. Resultado e análise

A seguir veremos o número de movimentos minímos para chegar ao tabuleiro final para cada caso de teste, ou seja o resultado esperado pelo algoritmo.

| Testes | Número de movimentos |
|--------|----------------------|
| 1 | 18 |
| 2 | 19 |
| 3 | 12 |
| 4 | 21 |
| 5 | 38 |
| 6 | 32 |
| 7 | 38 |
| 8 | 32 |
| 9 | 27 |
| 10 | 29 |

Tabela 3. Casos testes

Agora podemos partir para análise das métricas de memória e tempo.

7.2. Consumo de memória

O consumo de memória, de acordo com a heurística, é o principal fator limitante do algoritmo A*. Em algumas das heurística não foi possível executar todos os teste pois houve estouro de memória. A seguir a Tabela 4 indica a quantidade de memória utilizada em cada teste por cada uma das cinco heurísticas. "N/A" indica que houve estouro de memória.

| Testes | $h'_1(n)$ | $h'_2(n)$ | $h'_3(n)$ | $h'_4(n)$ | $h'_5(n)$ |
|--------|-----------|-----------|-----------|-----------|-----------|
| 1 | 46 KB | 110.7 KB | 3.48 KB | 14.08 KB | 6.9 KB |
| 2 | 27 KB | 221.3 KB | 1.8 KB | 6.9 KB | 3.4 KB |
| 3 | 2.9 KB | 6.96 KB | 1.8 KB | 1.8 KB | 1.8 KB |
| 4 | 110 KB | 442.5 KB | 14.0 KB | 27.8 KB | 14 KB |
| 5 | N/A | N/A | 6.98 KB | 7.86 MB | 6.9 KB |
| 6 | 62.90 MB | N/A | 14.0 KB | 884.9 KB | 221.3 KB |
| 7 | N/A | N/A | 27.8 KB | 31.4 MB | 1.90 MB |
| 8 | 83.88 MB | 251.6 MB | 55.4 KB | 1.9 MB | 110.7 KB |
| 9 | 3.93 MB | 125.8 MB | 3.44 KB | 184.5 KB | 110.7 KB |
| 10 | 31.45 MB | 167.7 MB | 110.7 KB | 884.9 KB | 442.5 KB |

Tabela 4. Consumo de memória

7.2. Consumo de tempo

Quando se trata do consumo de tempo, como já explicado anteriormente, cada heurística pode influênciar muito no desempenho do algoritmo, fazendo com que uma seja computacionalmente viável e outra não. Essa diferença resulta em um comportamento diretamente ligado ao tempo, podendo demorar mais para chegar ao resultado esperado. É importante ressaltar que a prioridade da implementação neste projeto foi o tempo e não o consumo de memória. A seguir na Tabela 5 podemos ver os resultados de cada teste para cada uma das 5 heurísticas aplicadas.

| Testes | $h'_1(n)$ | $h'_2(n)$ | $h'_3(n)$ | $h'_4(n)$ | $h'_5(n)$ |
|--------|-----------|-----------|----------------------|----------------------|----------------------|
| 1 | 0.05 s | 0.1 s | 0.005 s | 0.019 s | 0.011 s |
| 2 | 0.008 s | 0.331 s | 0.006 s | 0.011 s | 0.008 s |
| 3 | 0.003 s | 0.009 s | 0.004 s | $0.006 \mathrm{\ s}$ | 0.004 s |
| 4 | 0.146 s | 0.437 s | 0.015 s | 0.04 s | 0.026 s |
| 5 | N/A | N/A | 0.009 s | 10.115 s | 0.013 s |
| 6 | 1654.09 s | N/A | 0.019 s | 1.899 s | 0.354 s |
| 7 | N/A | N/A | 0.041 s | 43.304 s | 4.604 s |
| 8 | 3195.30 s | 6839.46 s | $0.056 \mathrm{\ s}$ | 2.069 s | $0.158 \mathrm{\ s}$ |
| 9 | 3.78 s | 3990.22 s | 0.004 s | $0.306 \mathrm{\ s}$ | 0.19 s |
| 10 | 549.5 s | 5087.92 s | 0.125 s | 1.811 s | 0.783 s |

Tabela 5. Consumo de tempo (em segundos)

7.3 Analise entre as heurísticas

Este tópico analisará dentre os testes, qual método teve o melhor desempenho de tempo e o menor consumo de memória. A seguir veremos algumas tabelas de comparação de tempo médio e memória média entre cada heurística dos testes que não houveram estouro, visto na tabela 3 e 4 anteriormente.

| Tempo médio h'1(n) | Memória média h ′ ₁ (n) |
|--------------------------------------|---|
| 4.25 vezes mais rápido que h'_2 | h'_2 utiliza 464% do espaço da h'_1 |
| $16,020$ vezes mais lento que h'_3 | h'_3 utiliza 0.16% do espaço da h'_1 |
| 879 vezes mais lento que h'_4 | h'_4 utiliza 1.81% do espaço da h'_1 |
| 2,443 vezes mais lento que h'_5 | h'_5 utiliza 0.59% do espaço da h'_1 |

Tabela 5. Comparação da ${h'}_1(n)$ com as demais heurísticas

| Tempo médio $h'_2(n)$ | Memória média ${h'}_2(n)$ |
|--------------------------------------|--|
| 4.25 vezes mais lento que h'_1 | h'_1 utiliza 21.55% do espaço da h'_2 |
| $68,020$ vezes mais lento que h'_3 | h'_3 utiliza 0.04% do espaço da h'_2 |
| 3,730 vezes mais lento que h'_4 | h'_4 utiliza 0.39% do espaço da h'_2 |
| 10,37 vezes mais lento que h'_5 | h'_{5} Utiliza 0.13% do espaço da h'_{2} |

Tabela 6. Comparação da $h^\prime{}_2(n)$ com as demais heurísticas

| Tempo médio $h'_3(n)$ | Memória média $h'_3(n)$ |
|-------------------------------------|---|
| 16,020 vezes mais rápida que h'_1 | h'_1 utiliza 61,477% do espaço da h'_3 |
| 68,027 vezes mais rápida que h'_2 | h'_2 utiliza 285,271% do espaço da h'_3 |
| 18 vezes mais rápida que h'_4 | h'_4 utiliza 1,113% do espaço da h'_3 |
| 6.5 vezes mais rápida que h'_5 | h'_5 utiliza 362% do espaço da h'_3 |

Tabela 7. Comparação da $h^\prime{}_3(n$) da com as demais heurísticas

| Tempo médio $h'_4(n)$ | Memória média $h'_4(n)$ |
|------------------------------------|---|
| 879.5 vezes mais rápida que h'_1 | h'_1 utiliza 5,525% do espaço da h'_4 |
| 3,734 vezes mais rápida que h'_2 | h'_2 utiliza 25,640% do espaço da h'_4 |
| 18 vezes mais lenta que h'_3 | h^\prime_{3} utiliza 9% do espaço da h^\prime_{4} |
| 2.78 vezes mais lenta que h'_5 | h'_{5} utiliza 33% do espaço da h'_{4} |

Tabela 8. Comparação da $h^\prime{}_4(n)$ da com as demais heurísticas

| Tempo médio $h'_5(n)$ | Memória média $m{h'}_5(m{n})$ |
|-------------------------------------|---|
| 2,443 vezes mais rápida que h'_1 | h'_1 utiliza 16,984% do espaço da h'_5 |
| 10,377 vezes mais rápida que h'_2 | h^\prime_{2} utiliza 78,809% do espaço da h^\prime_{5} |
| 6.56 vezes mais lenta que h'_3 | h^\prime_3 utiliza 28% do espaço da h^\prime_5 |
| 2.78 vezes mais rápida que h'_4 | $h^\prime_{\ 4}$ utiliza 307% do espaço da $h^\prime_{\ 5}$ |

Tabela 9. Comparação da $h^\prime{}_5(n)$ da com as demais heurísticas

É perceptível que após todos os testes processados a $h'_2(n)$ (peças fora de ordem de acordo com a sequência numérica) é a mais custosa, tanto em tempo quanto em memória comparada as demais (Tabela 6). Já a heurística mais rápida e com menor consumo de memória é a $h'_3(n)$ (distância Manhattan) (Tabela 7). Também notou-se que tanto a heurística 1 quanto a heurística 2 não foram capazes de processar todos os testes, pois houve estouro de memória.

8. Conclusão

Conclui-se que a estrutura de dados arvore A* é influenciada pela heurística aplicada pra resolução do problema, porém caso utilizado uma heurística ineficiente o algoritmo gerará uma arvore muito profunda, consumindo muita memória e tempo.

Após analisarmos cada heurística aplicada na arvore A*, fica nítido a discrepância de desempenho entre as heurísticas, sendo a heurística 3 (distância Manhattan) a melhor delas. Isso ocorre porque a heurística 3 diferente das demais, contabiliza uma informação mais precisa de cada elemento do tabuleiro do que as outras heurísticas, melhorando a escolha dos seus sucessores.

Em trabalhos futuros pode ser realizado mais testes para melhorar a precisão das comparações entre as heurísticas.

Referências

Zeng, W.; Church, R. L. (2009). "Finding shortest paths on real road networks: the case for A*". *International Journal of Geographical Information Science*.